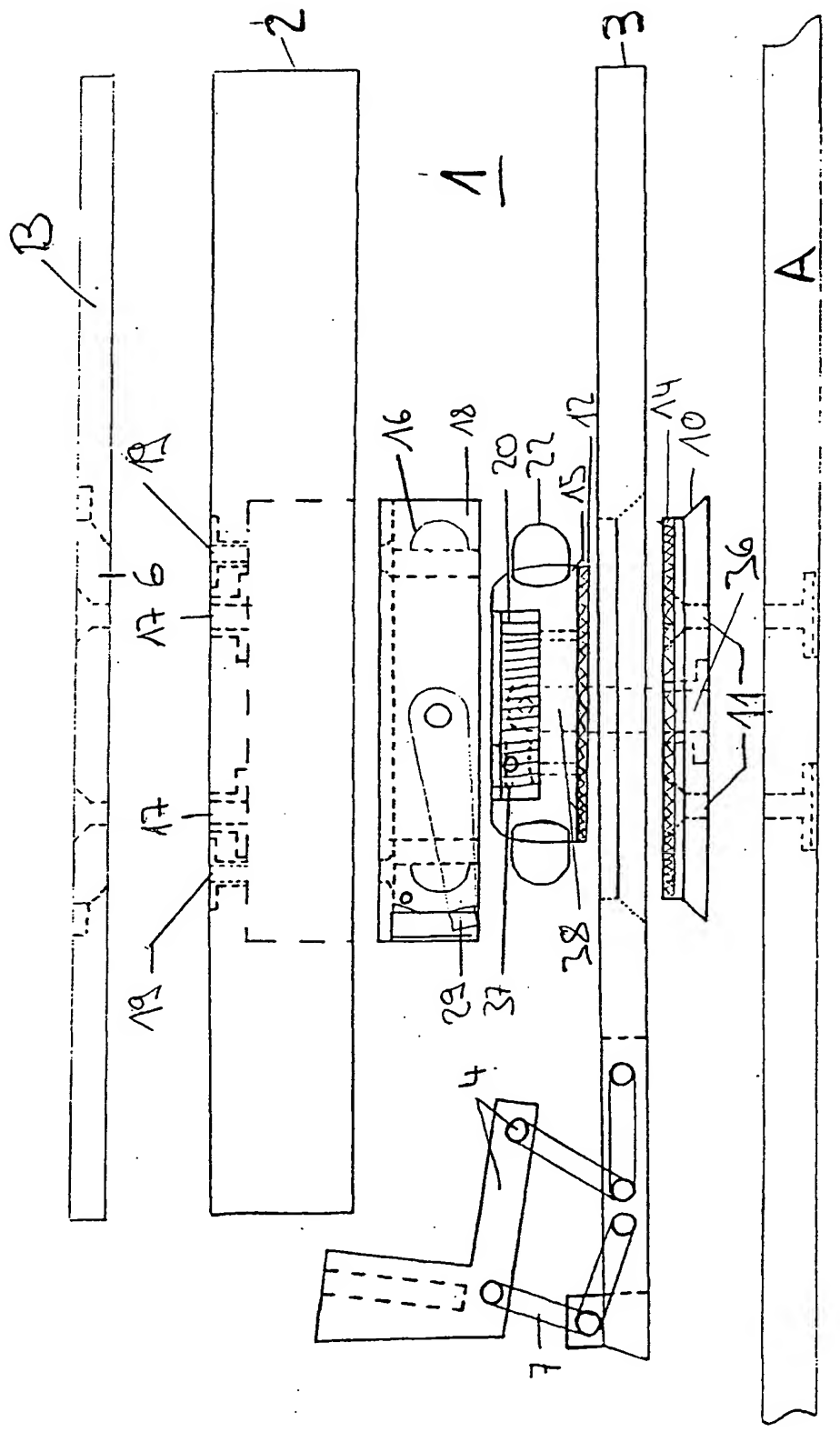


Fig. 1



2
10.
T

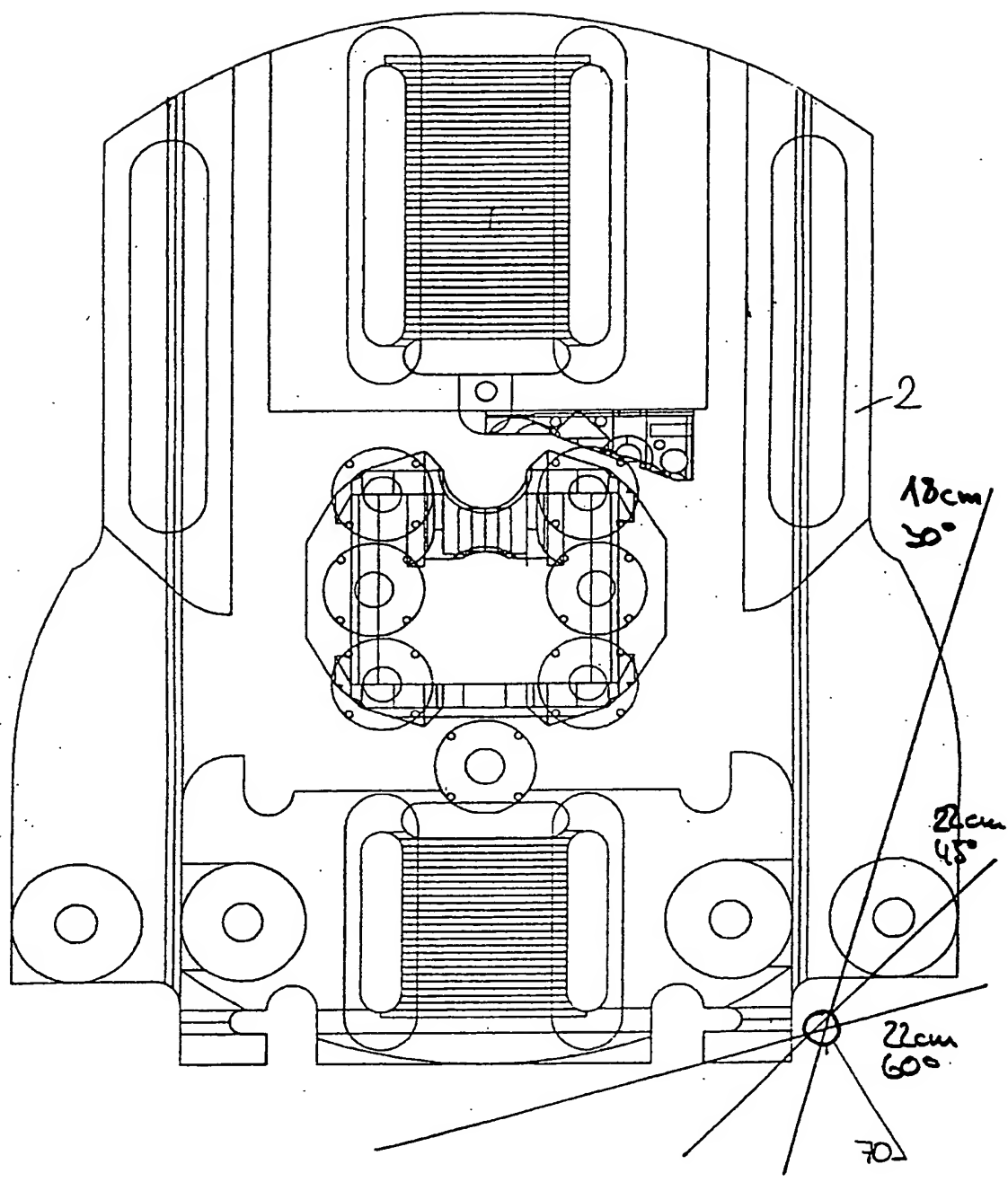


Fig. 3

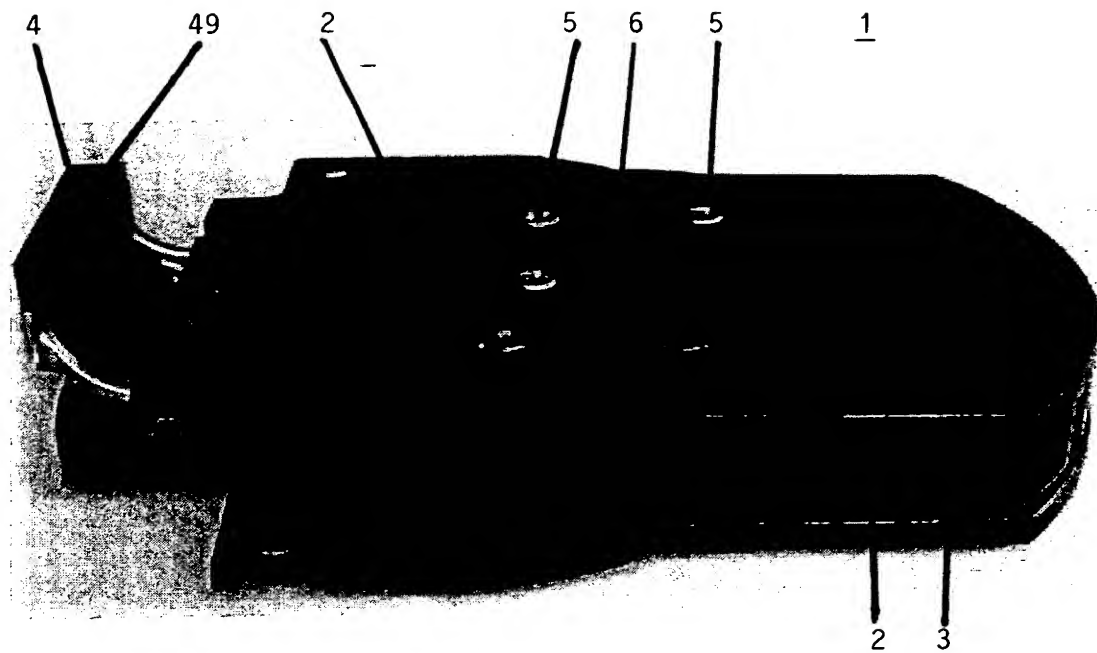


Fig. 4

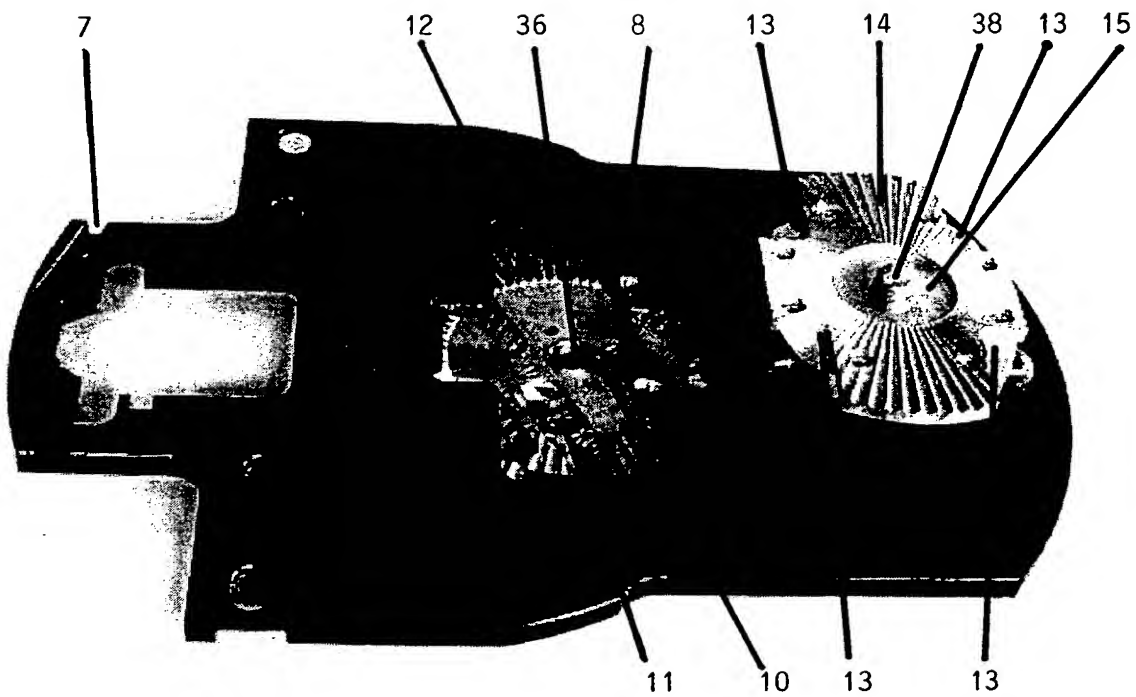


Fig. 5

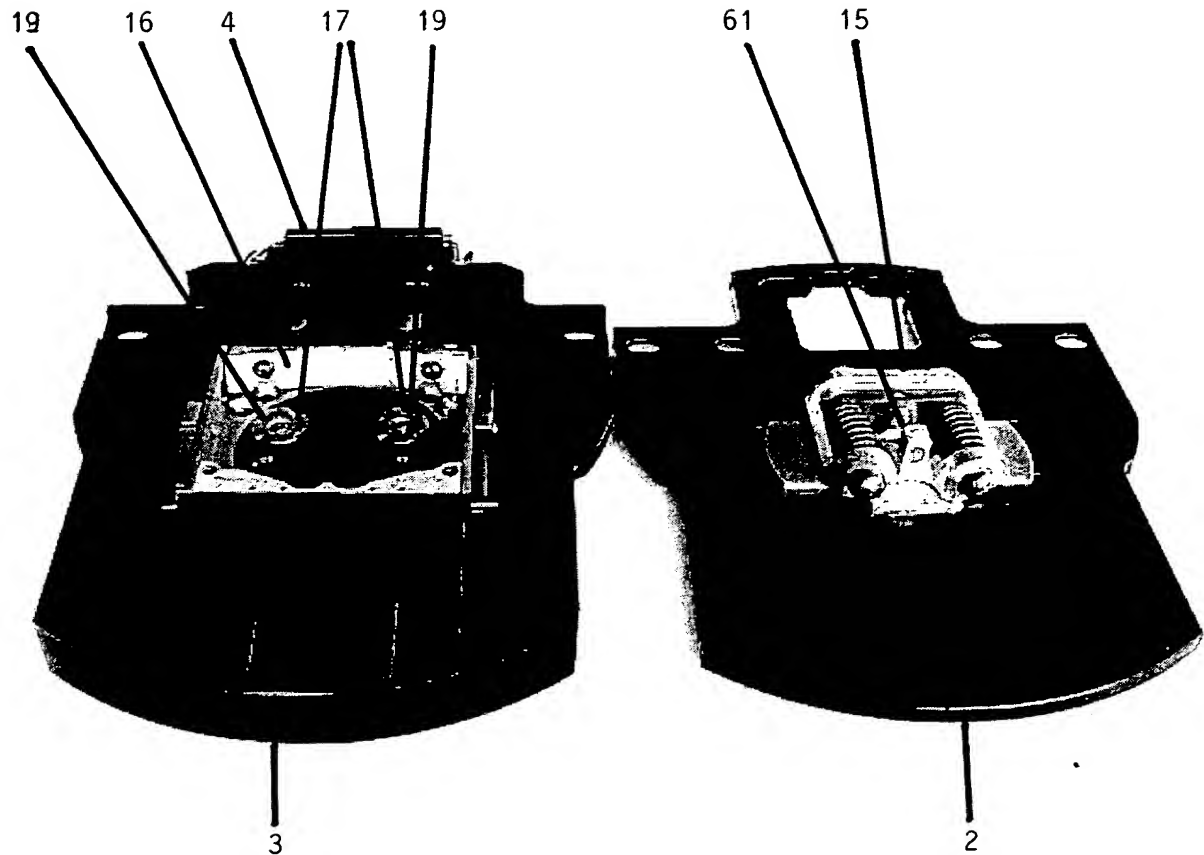


Fig. 6

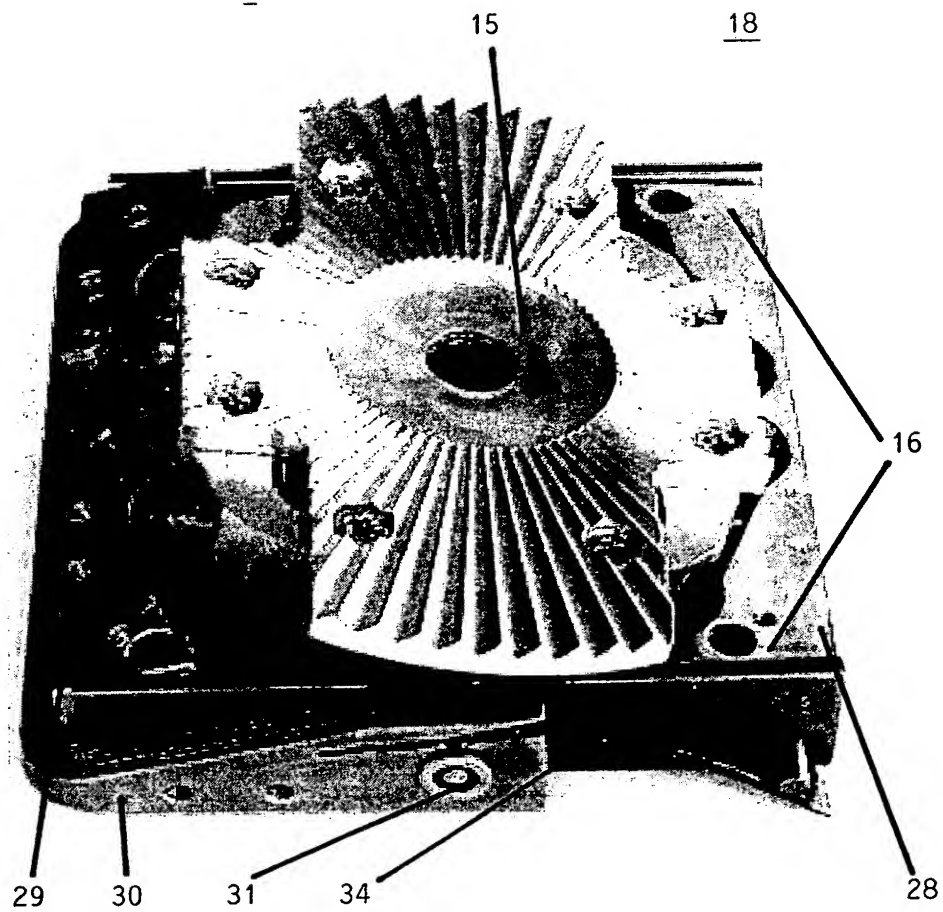


Fig. 7

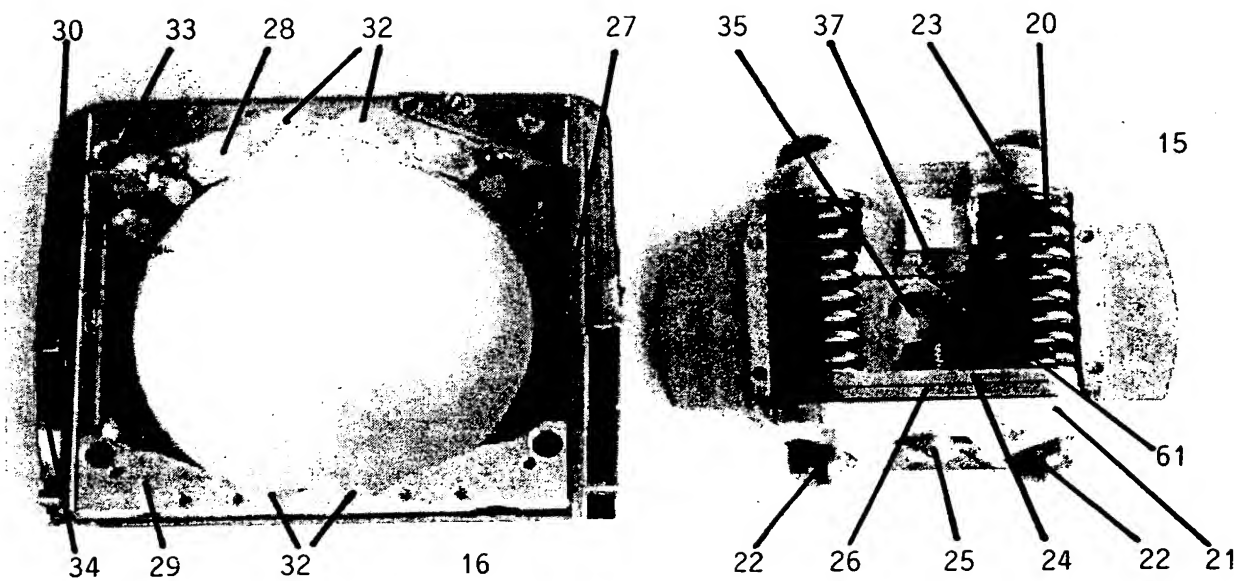


Fig. 8

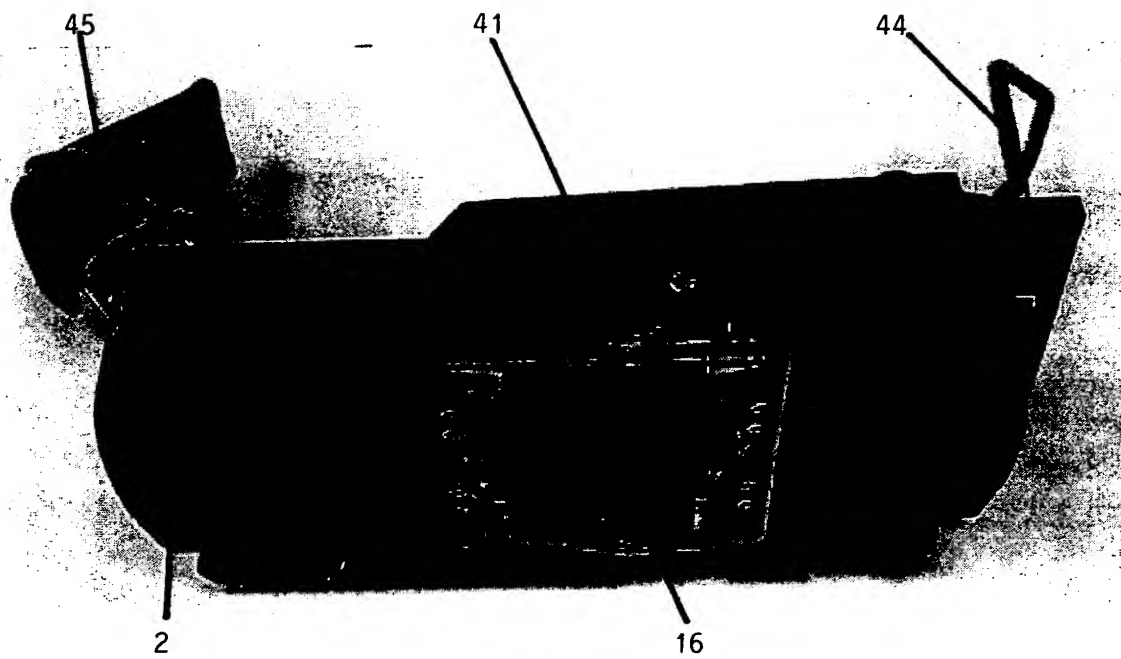


Fig. 9

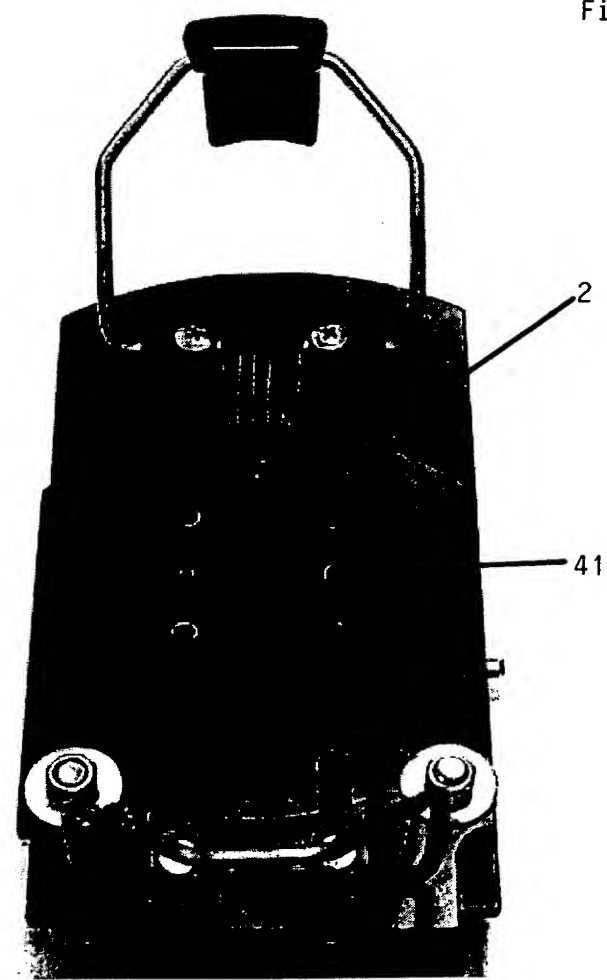


Fig. 10

44

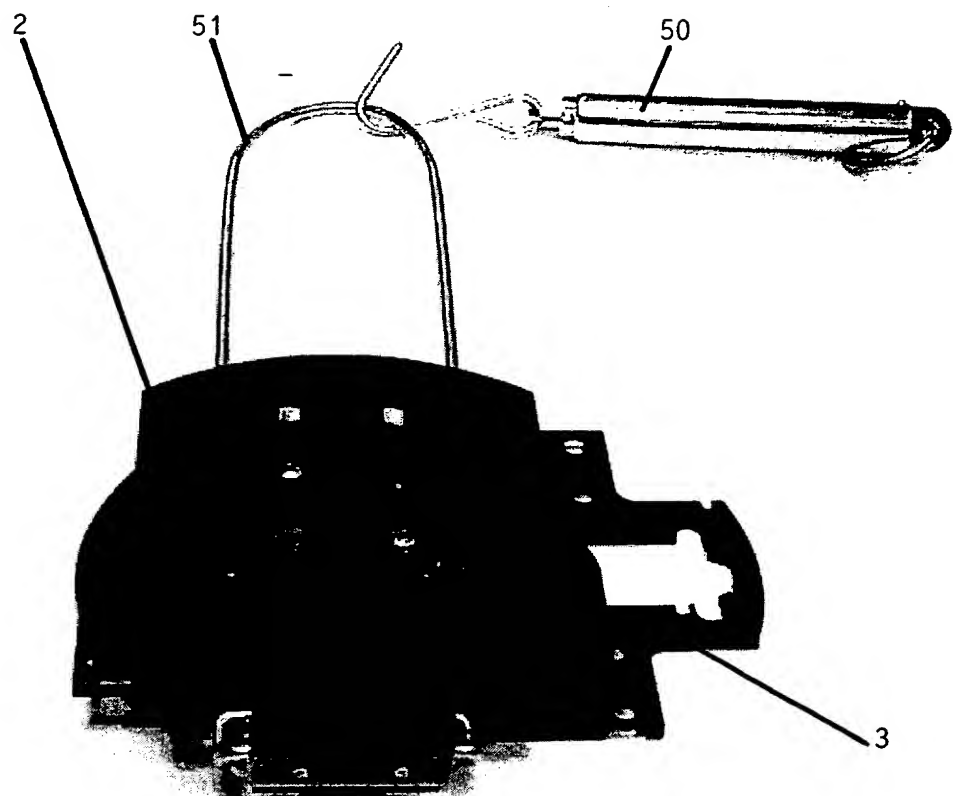


Fig. 11

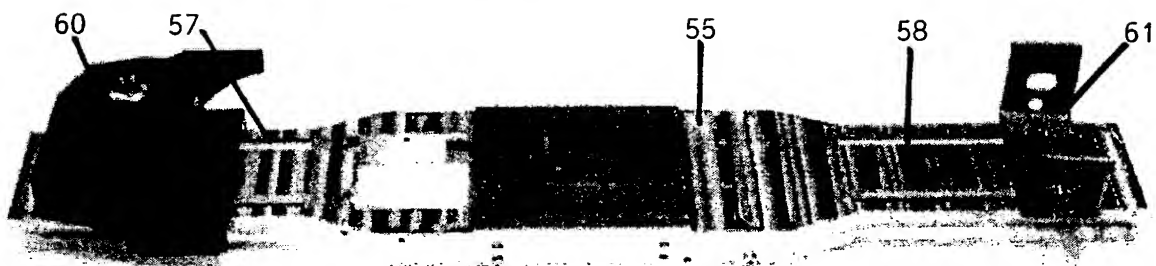


Fig. 12

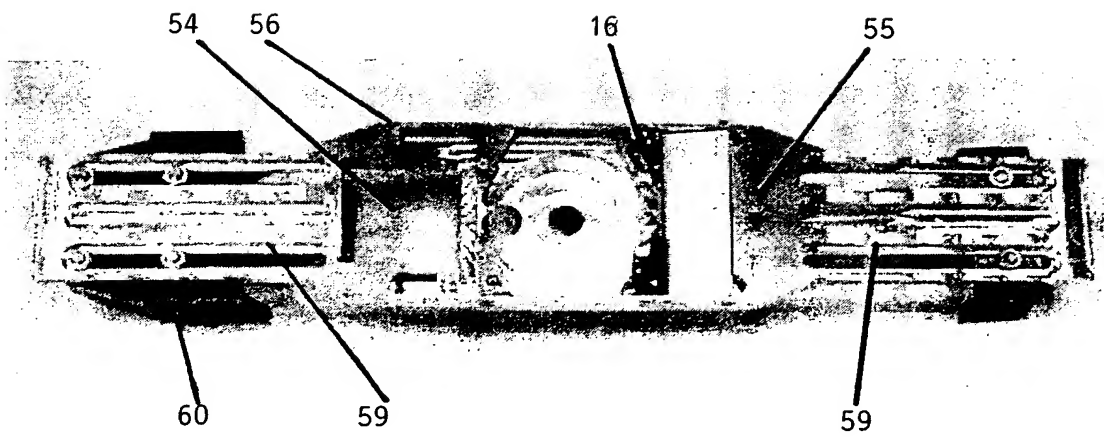
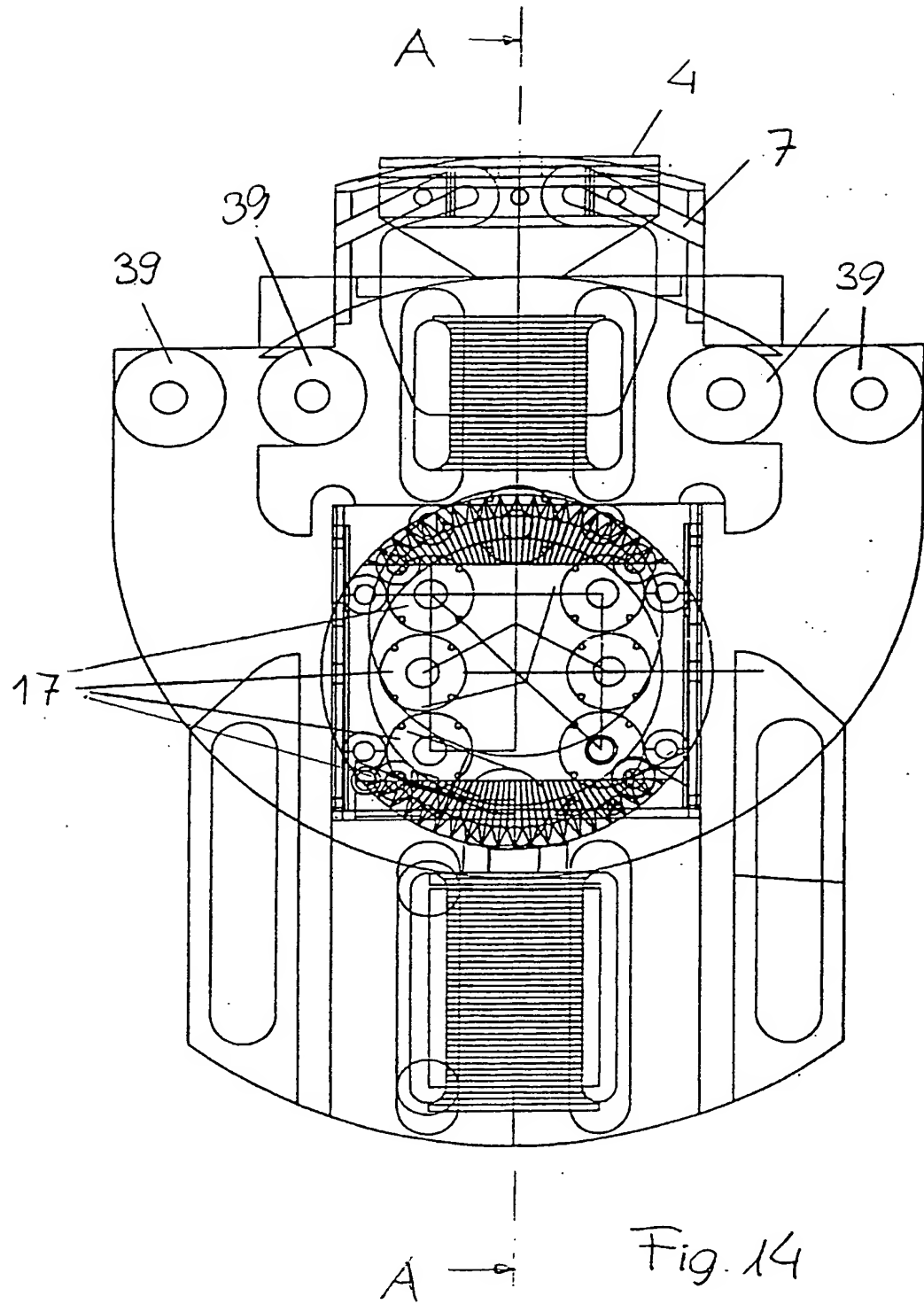


Fig. 13



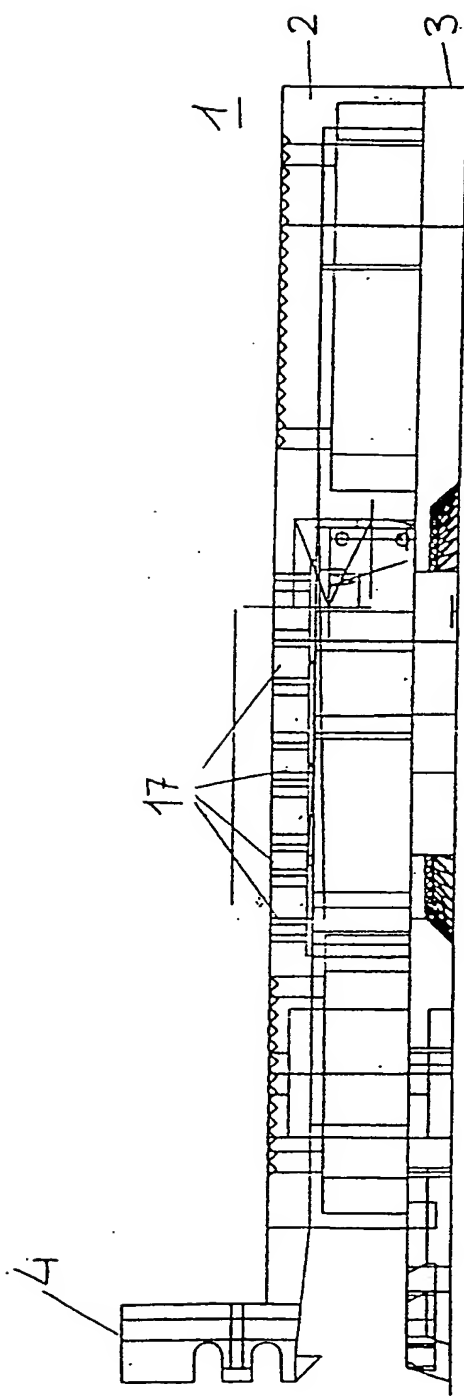


Fig. 15

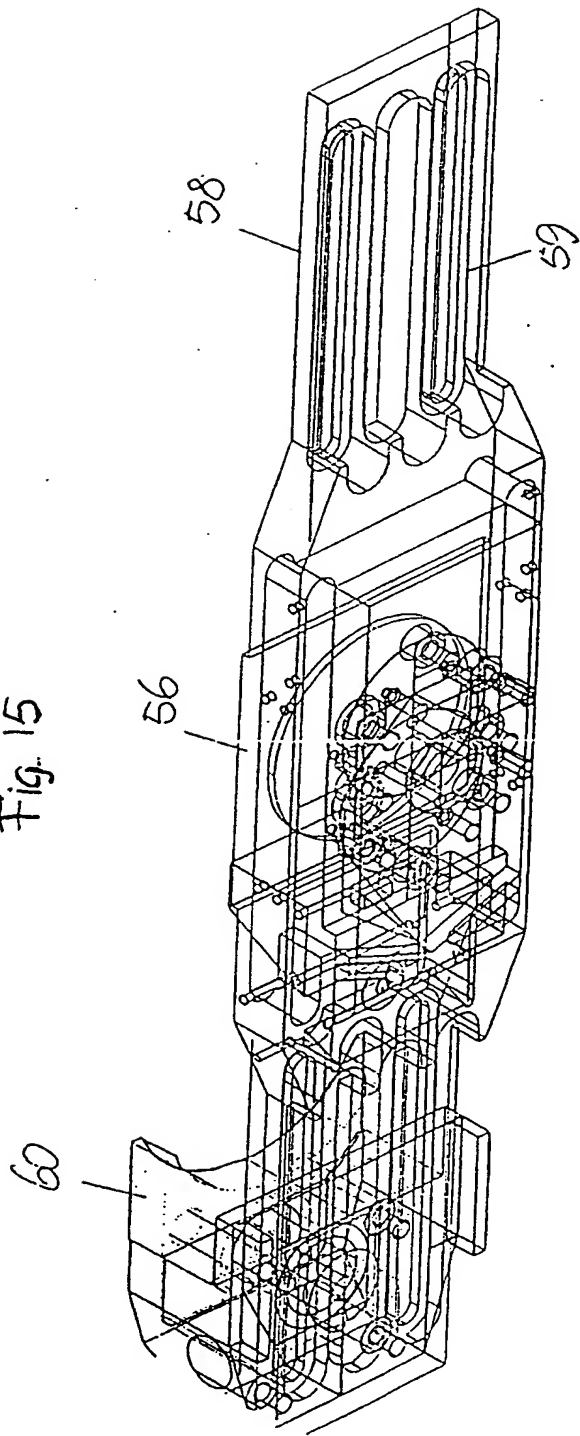


Fig. 16

Fig. 17

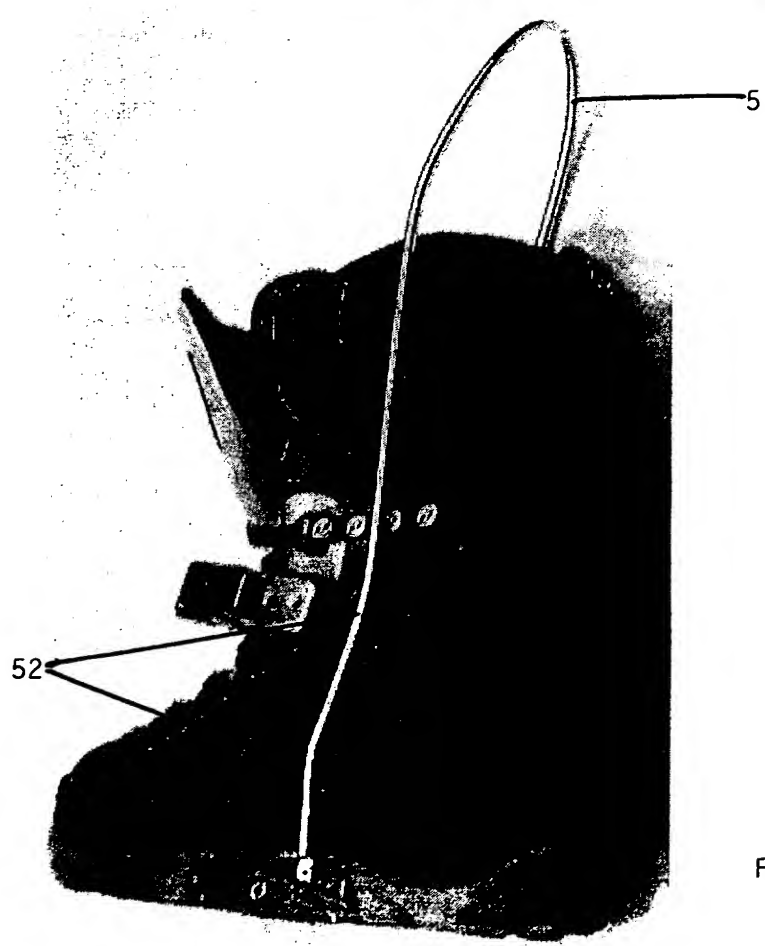
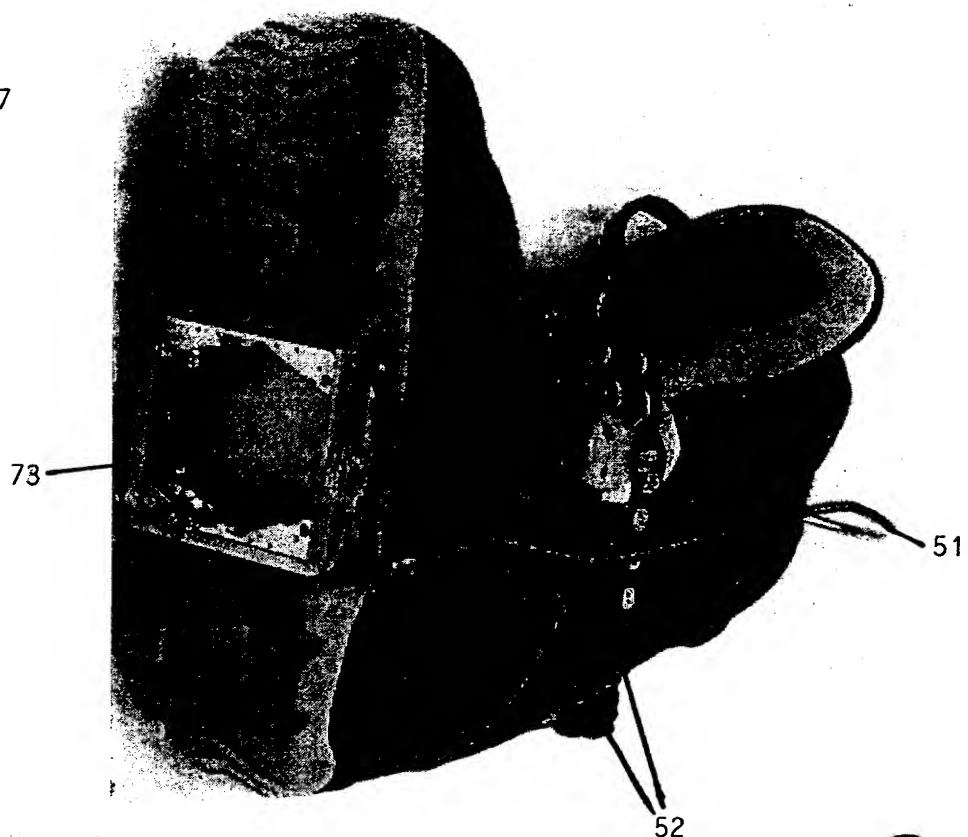


Fig. 18

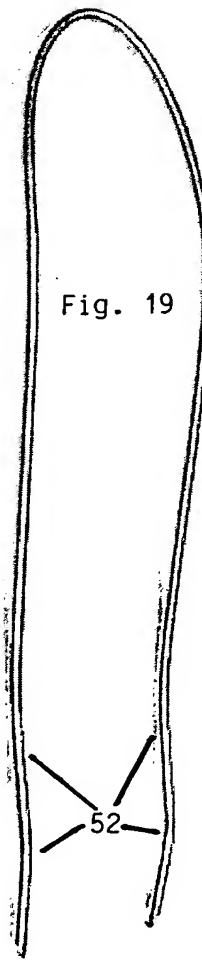
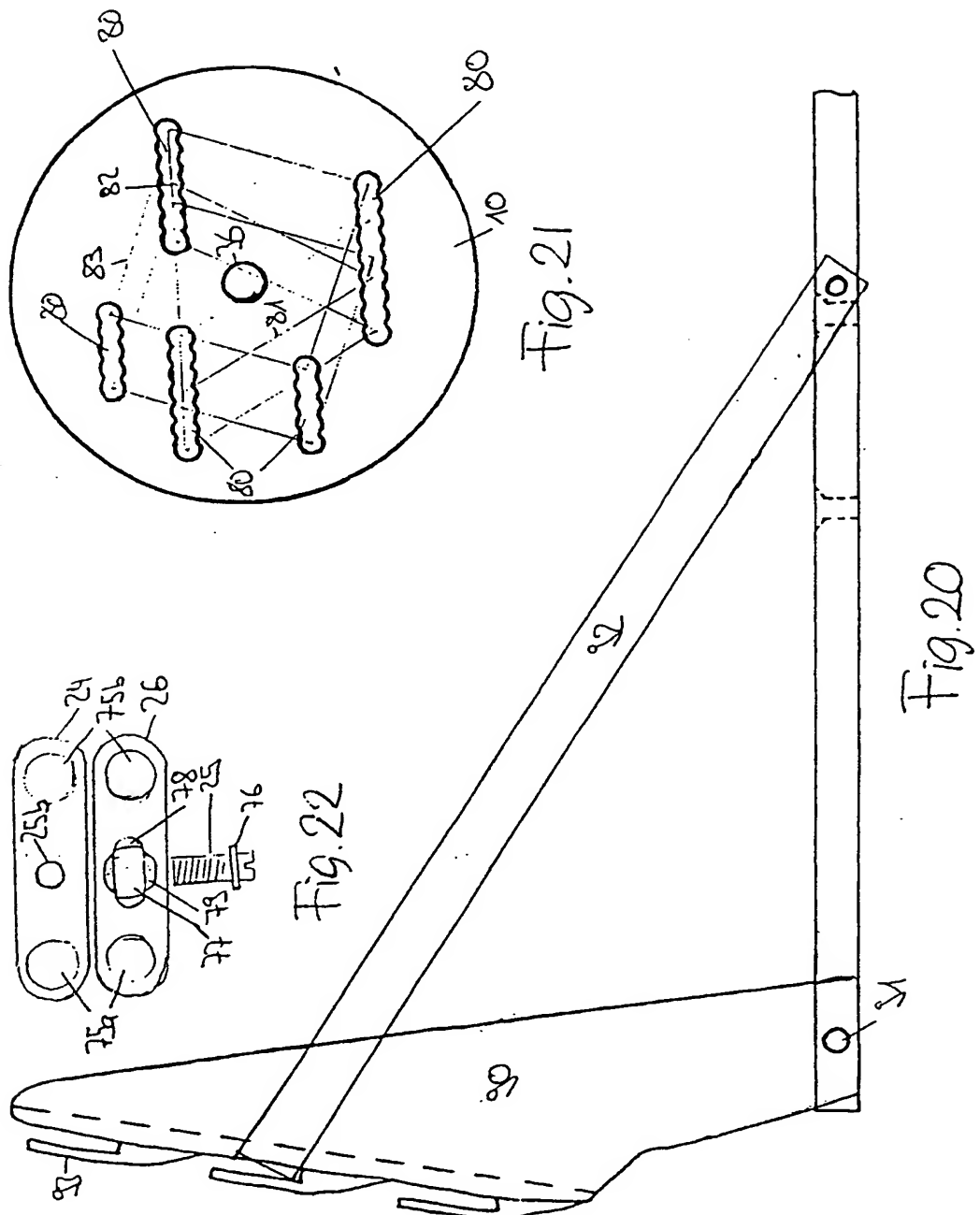


Fig. 19



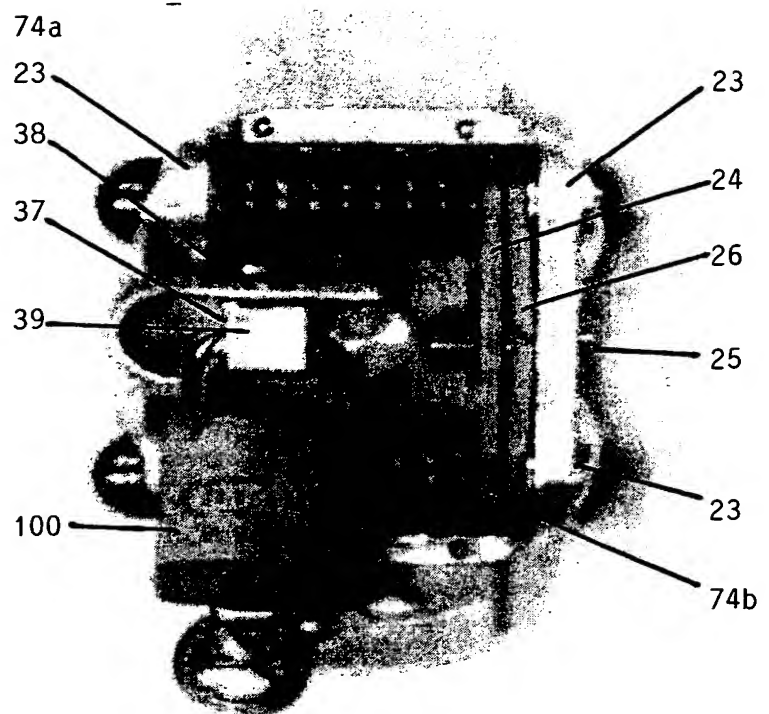


Fig. 23

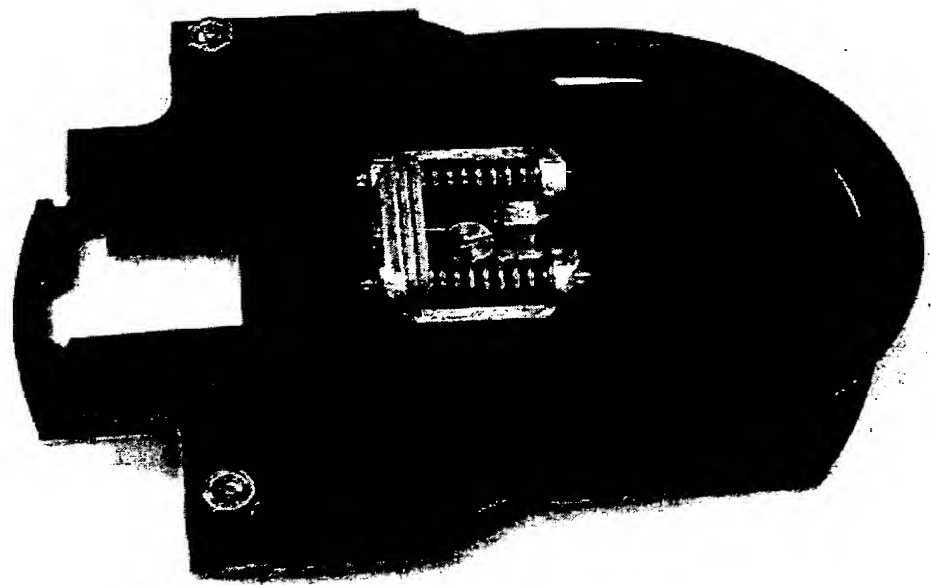


Fig. 24a

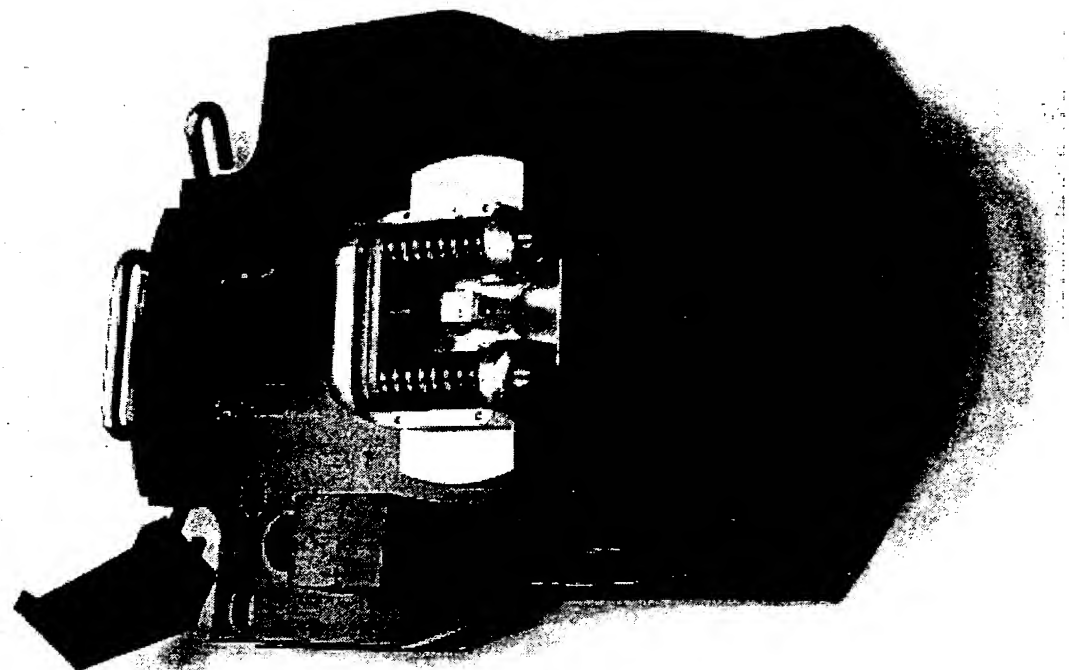


Fig. 24b

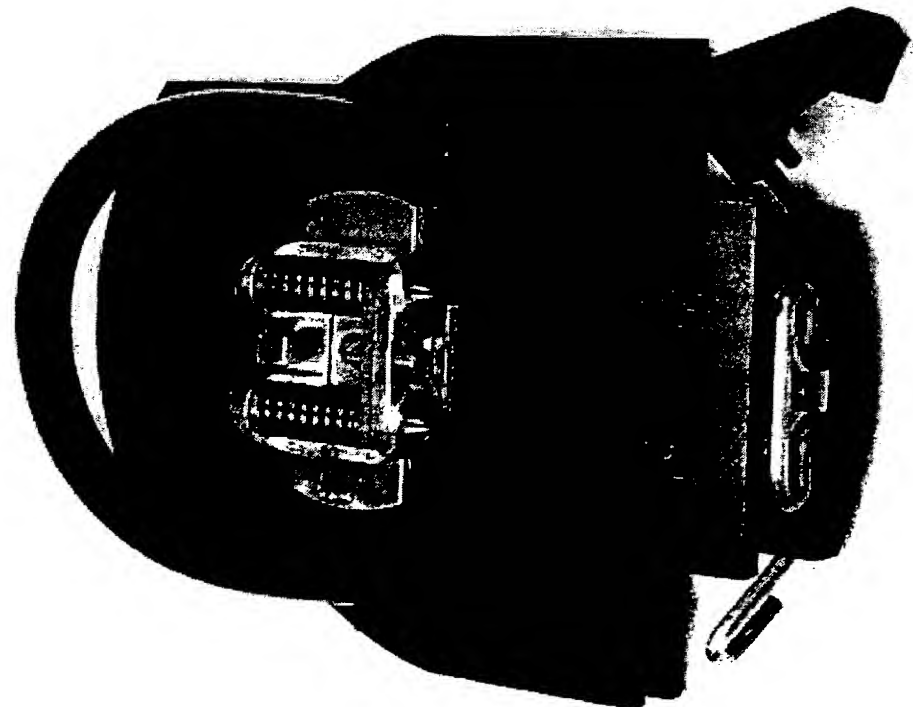


Fig. 24c

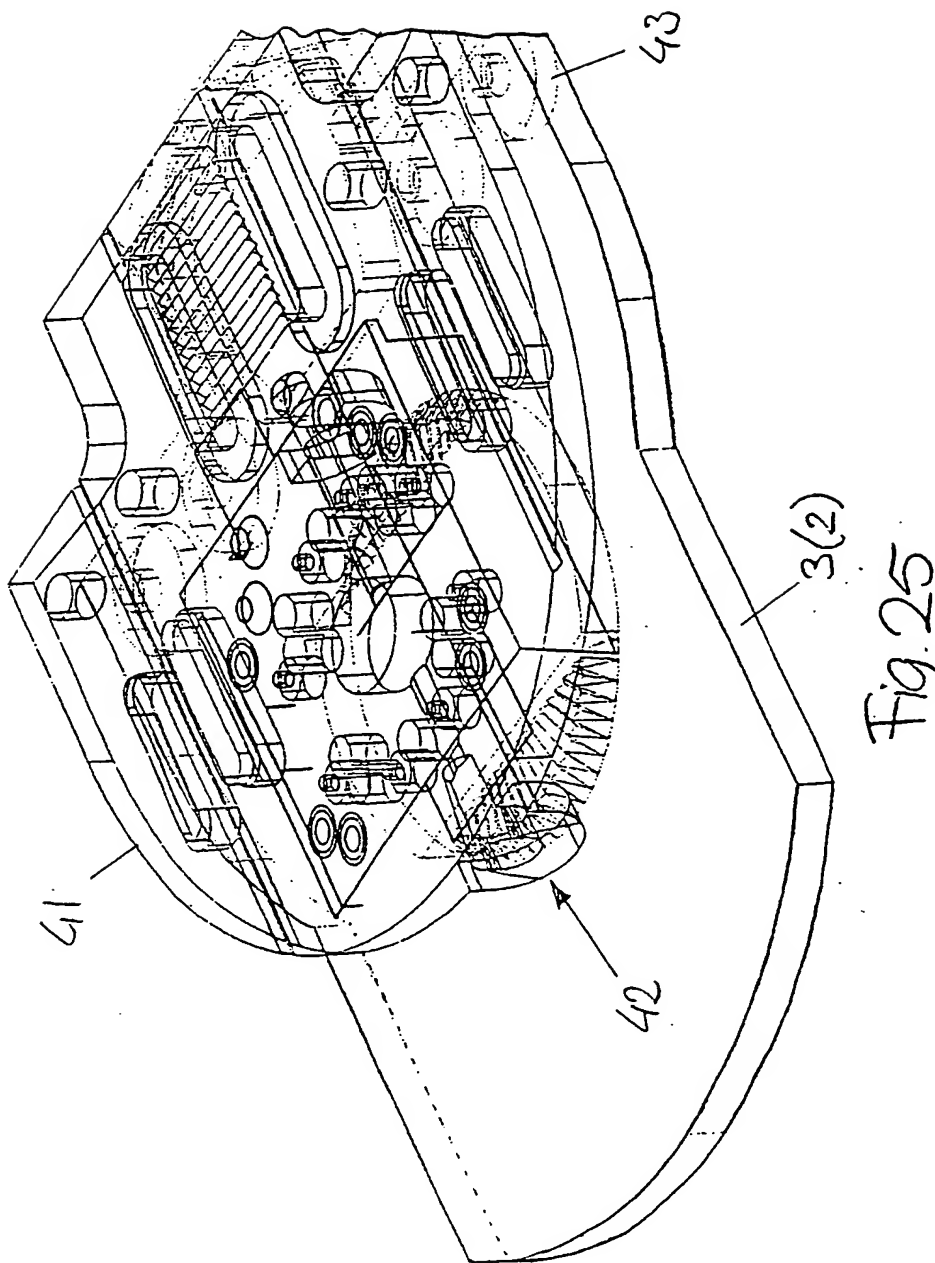


Fig. 25

Fig. 26

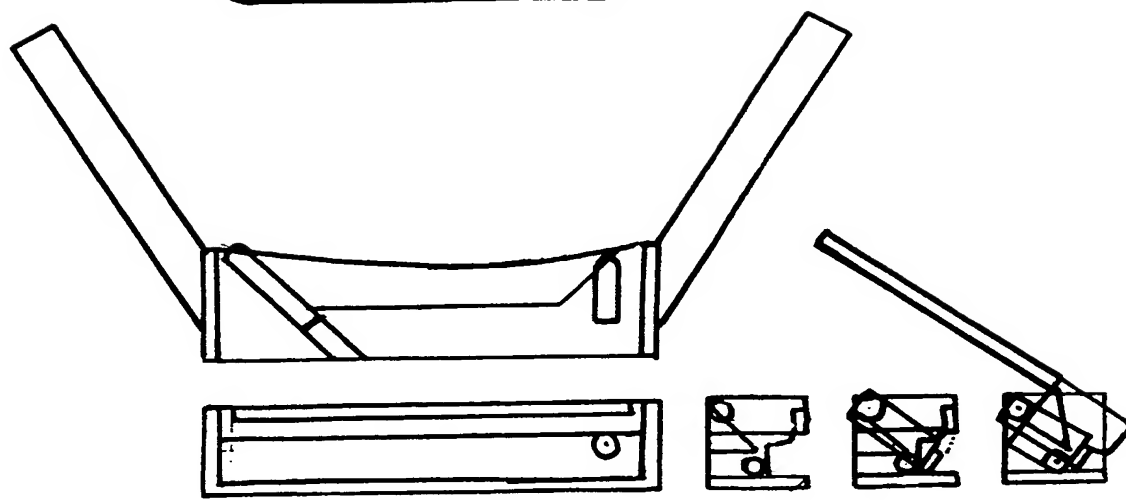
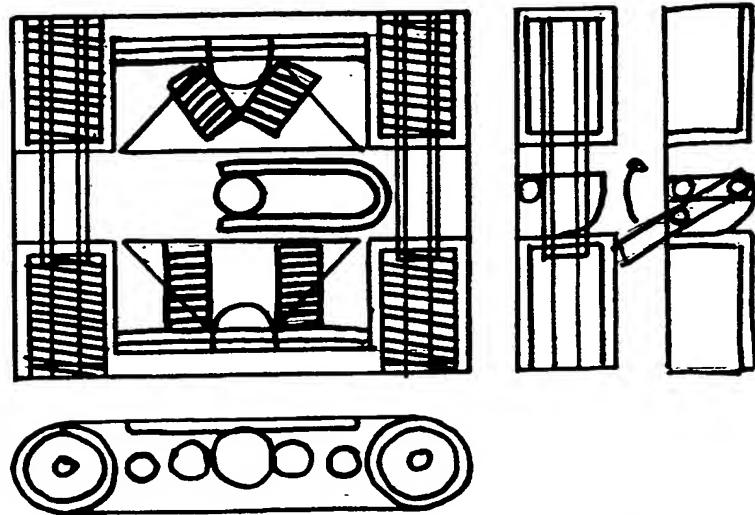
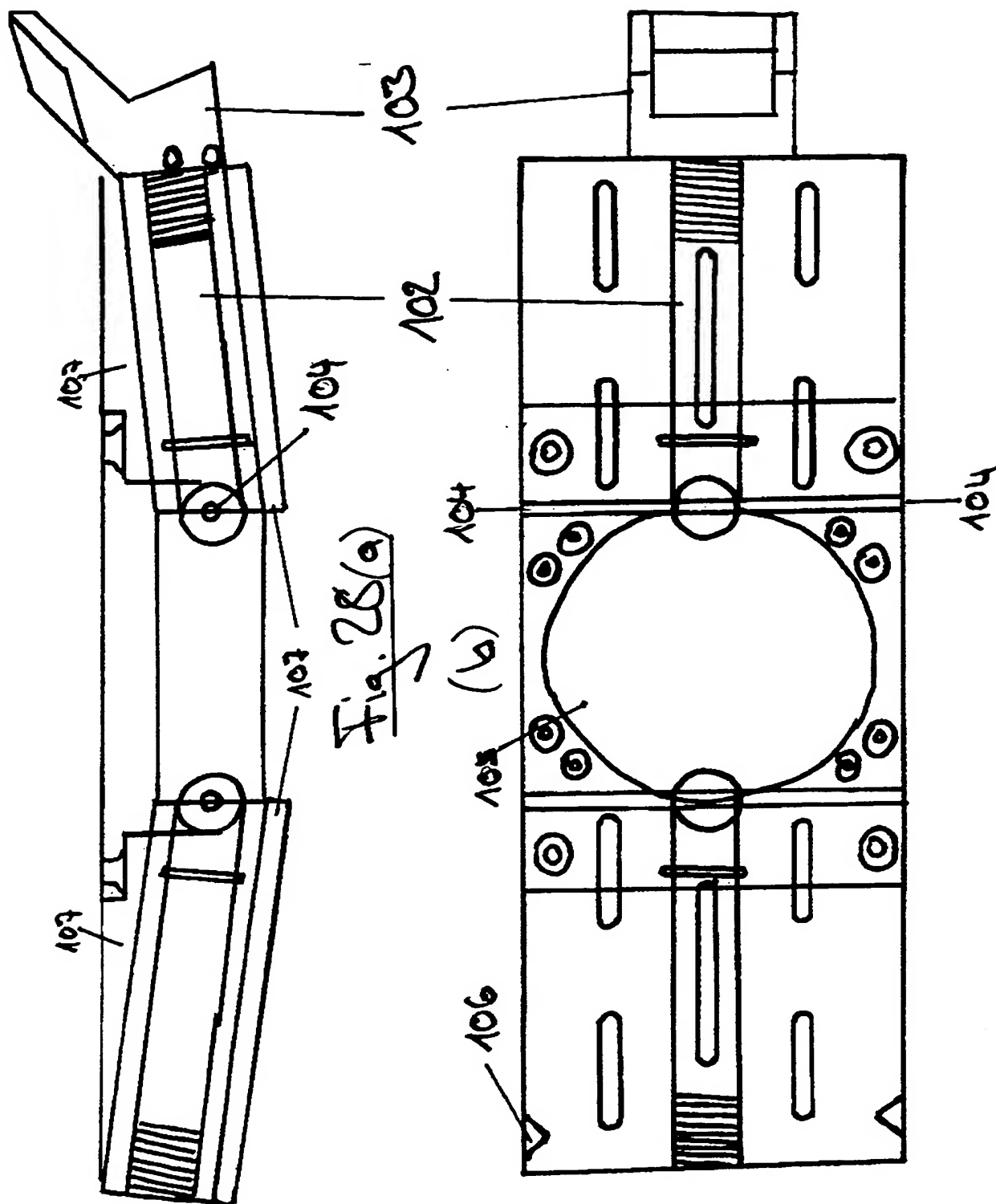


Fig. 27(a)

Fig. 27(b)



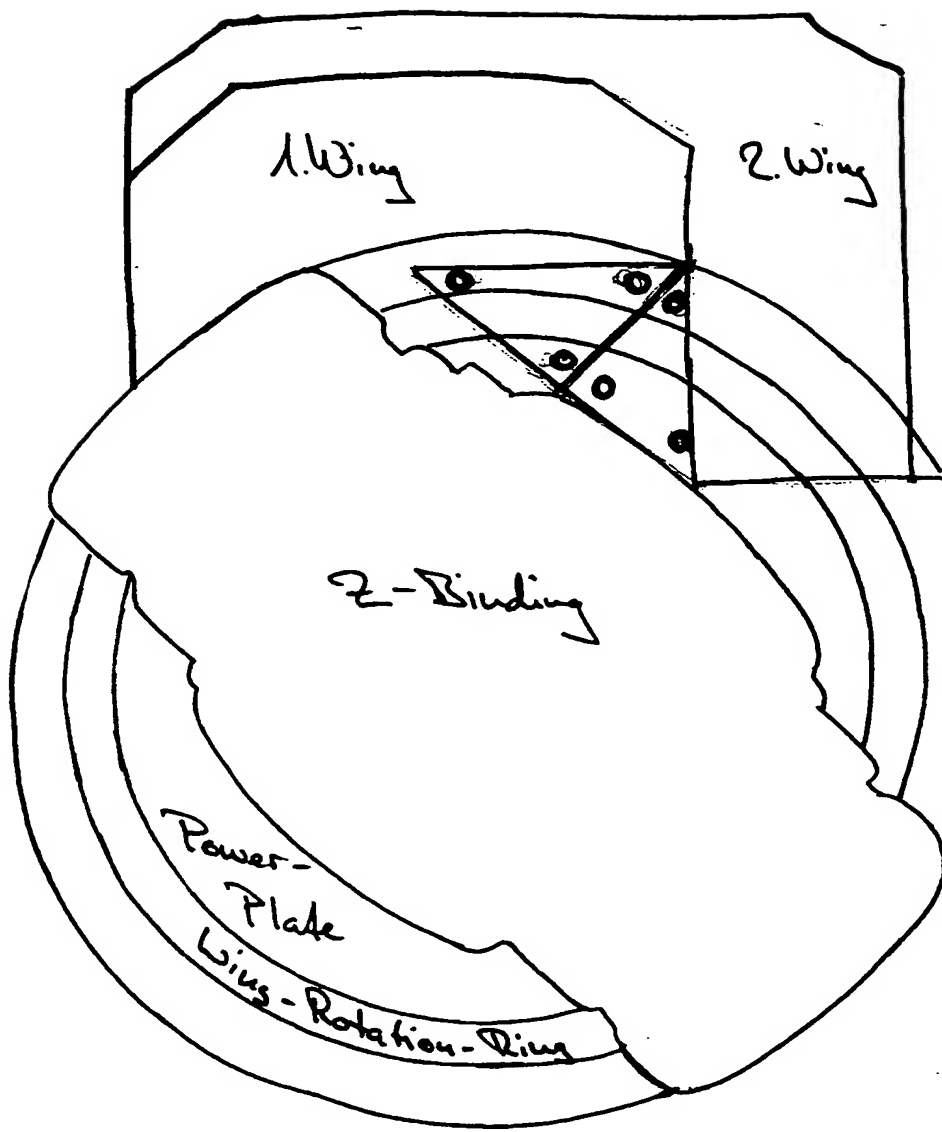


Fig. 29